

Computergrafik SS 2016

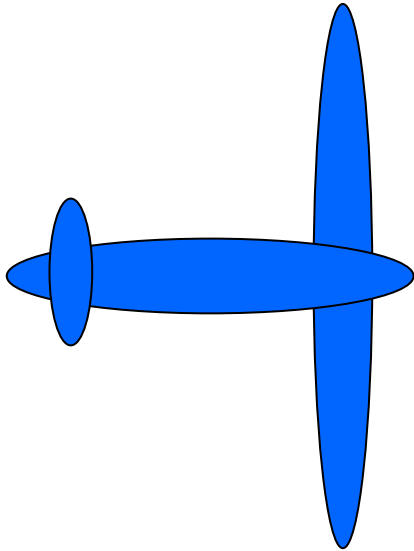
Oliver Vornberger

Kapitel 24:
Animation

Animationsarten

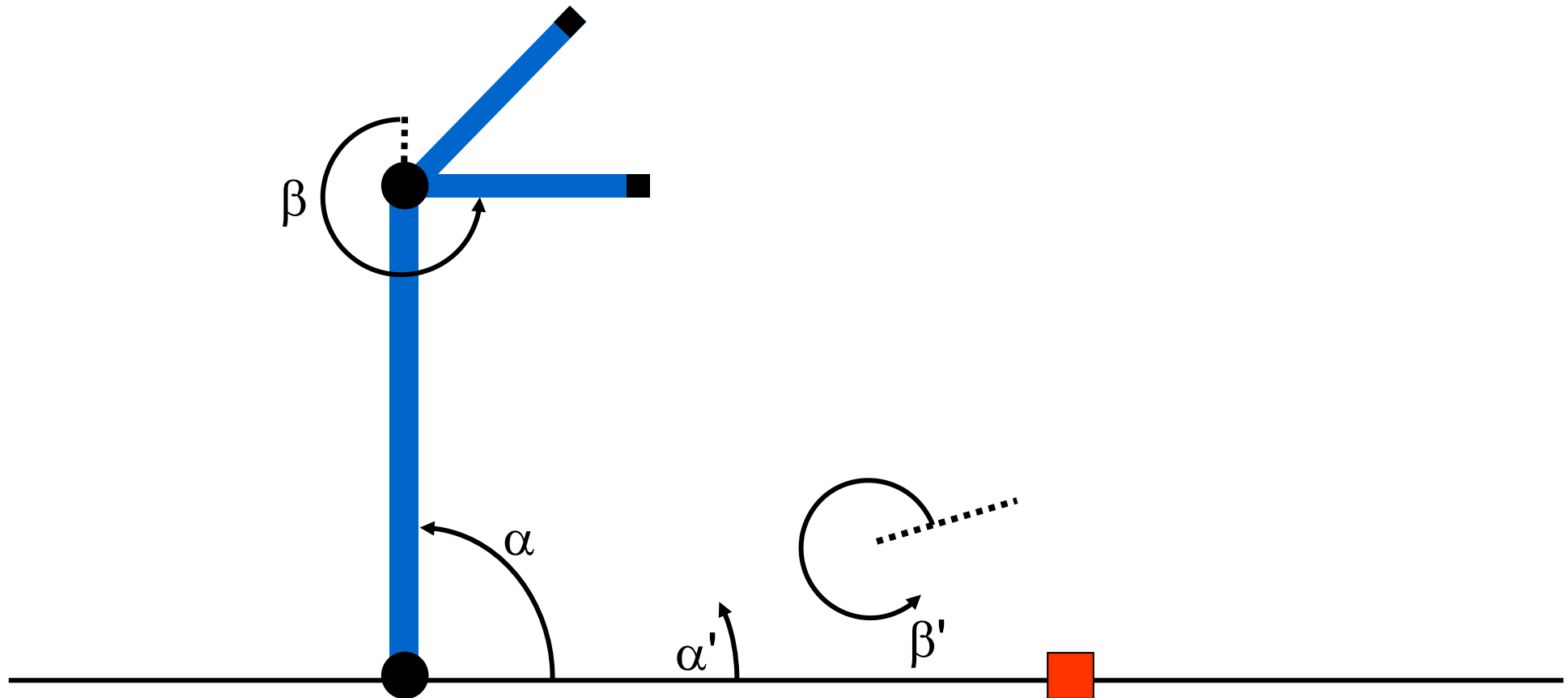
- Key Frame Animation
- Forward Kinematics
- Inverse Kinematics
- Particle Systems
- Verhaltensanimation

Key frame Animation

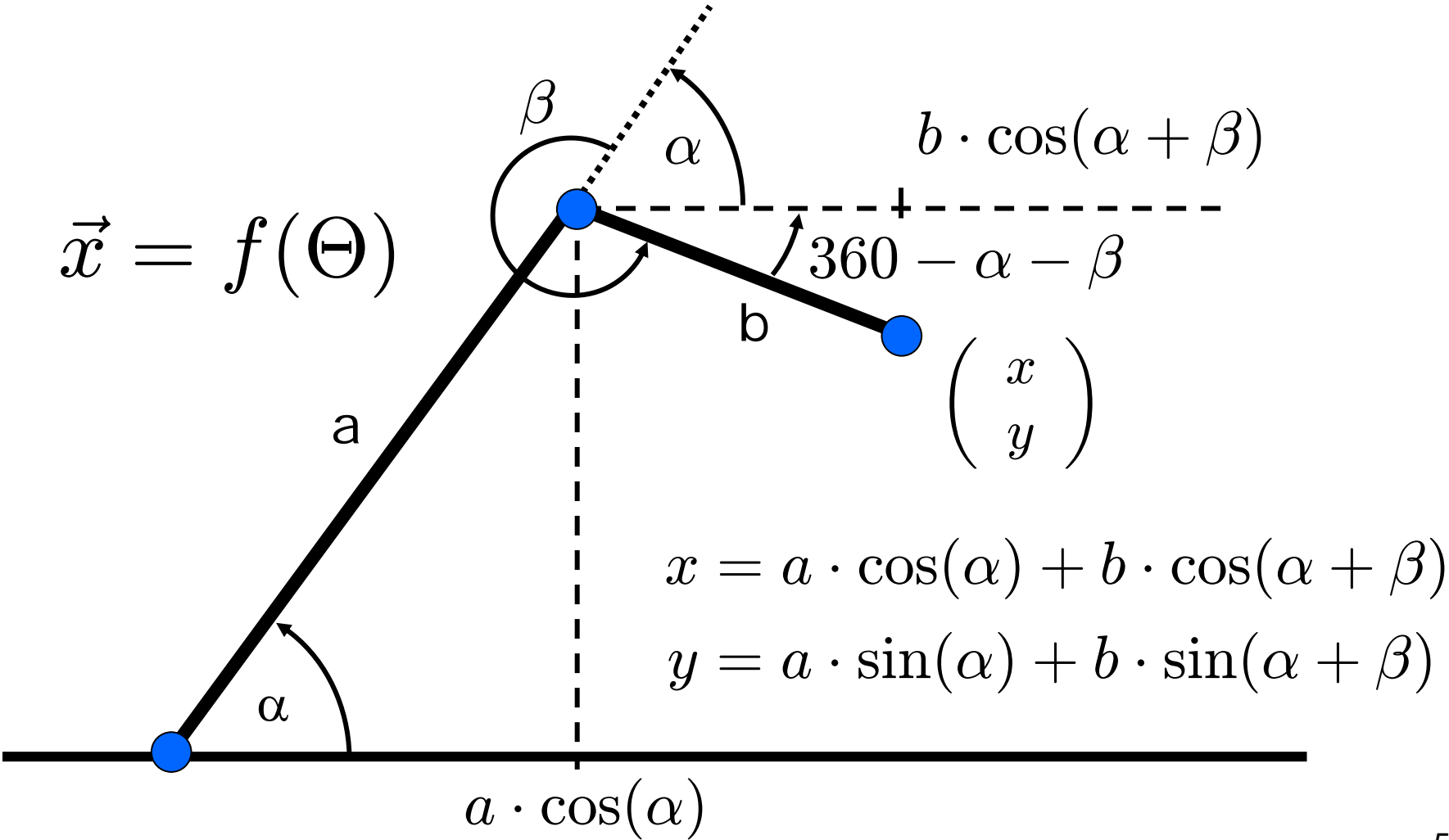


Kinematik

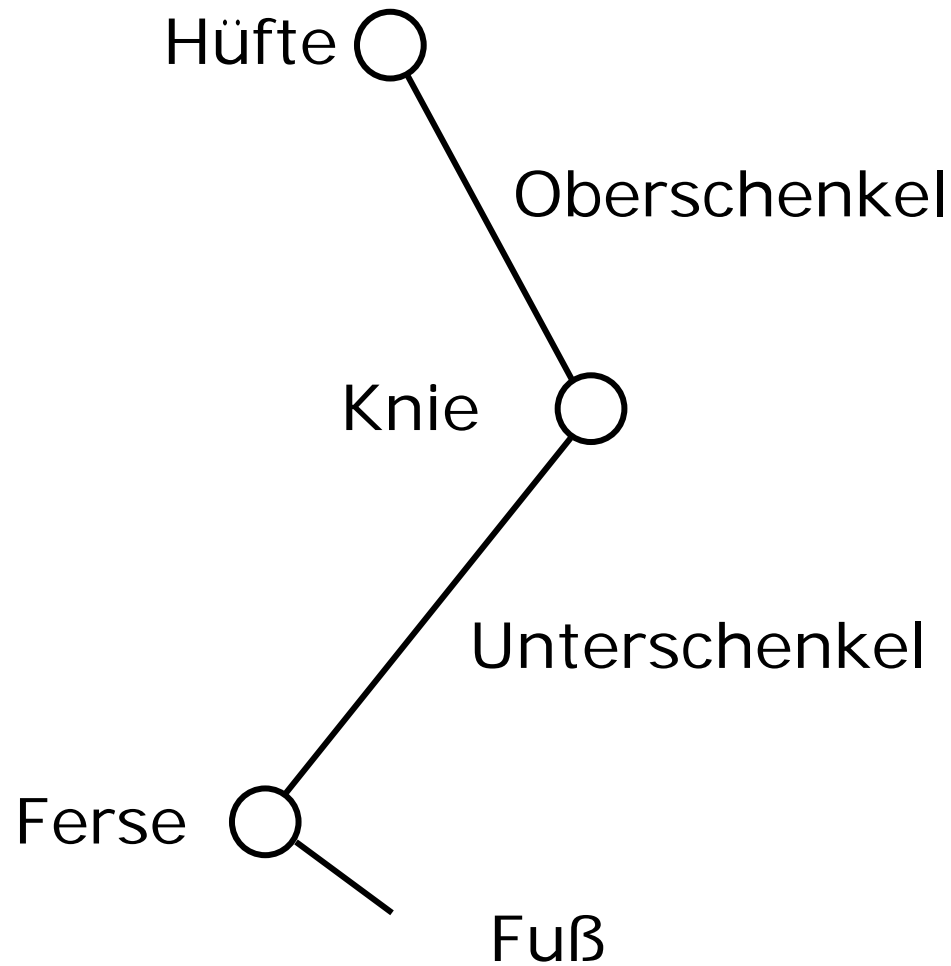
Bewegung im Raum
mit Körperverbindungen



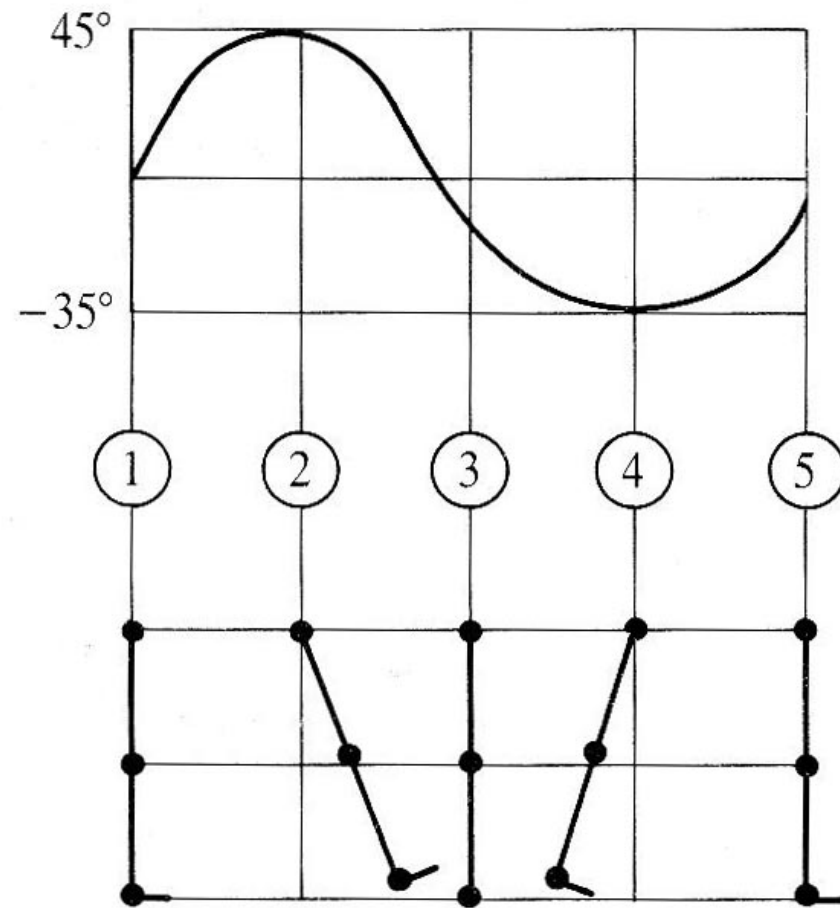
Forward Kinematics



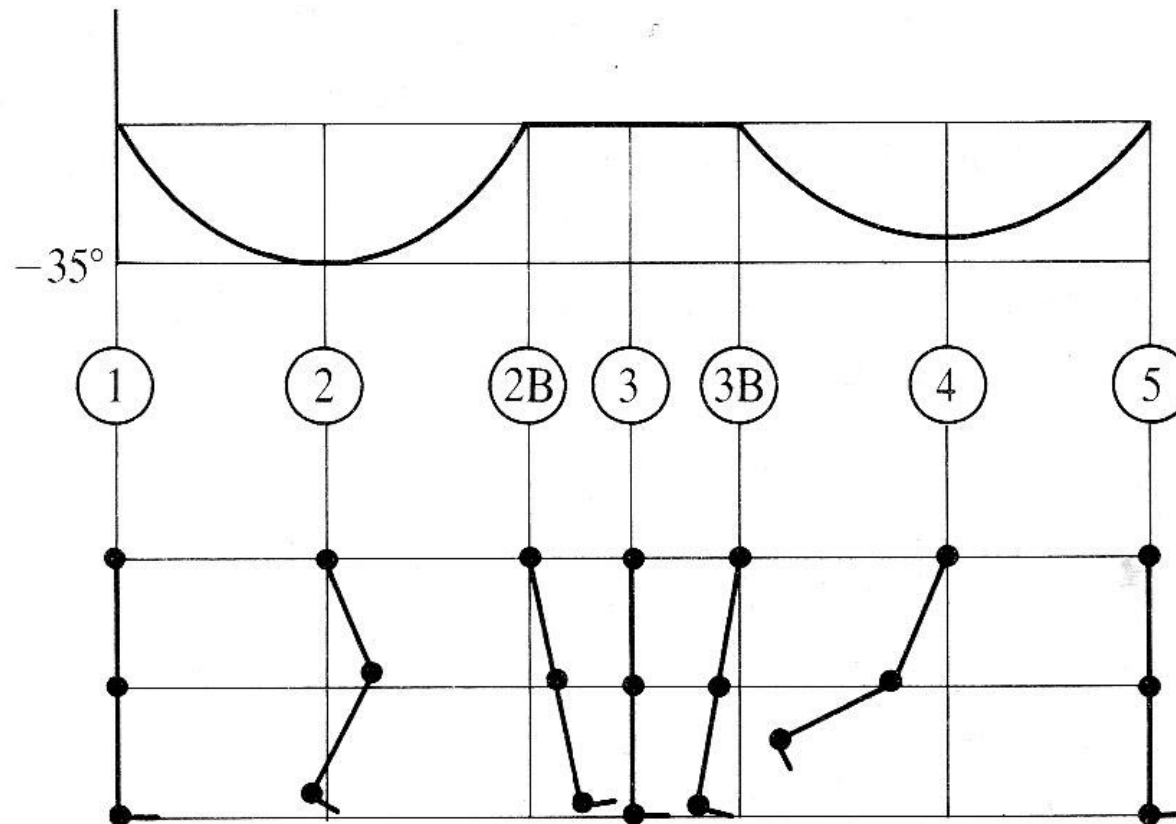
Skript für Forward Kinematics



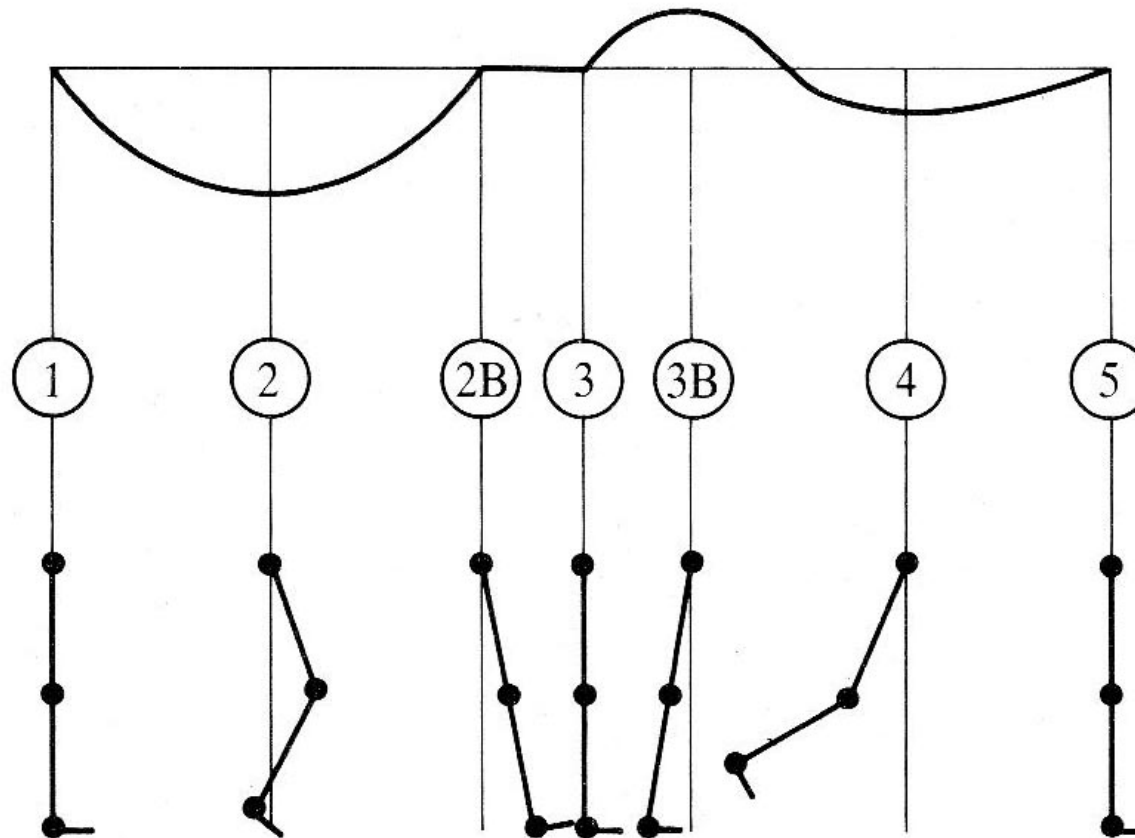
Rotation in der Hüfte



Rotation im Knie



Rotation in der Ferse

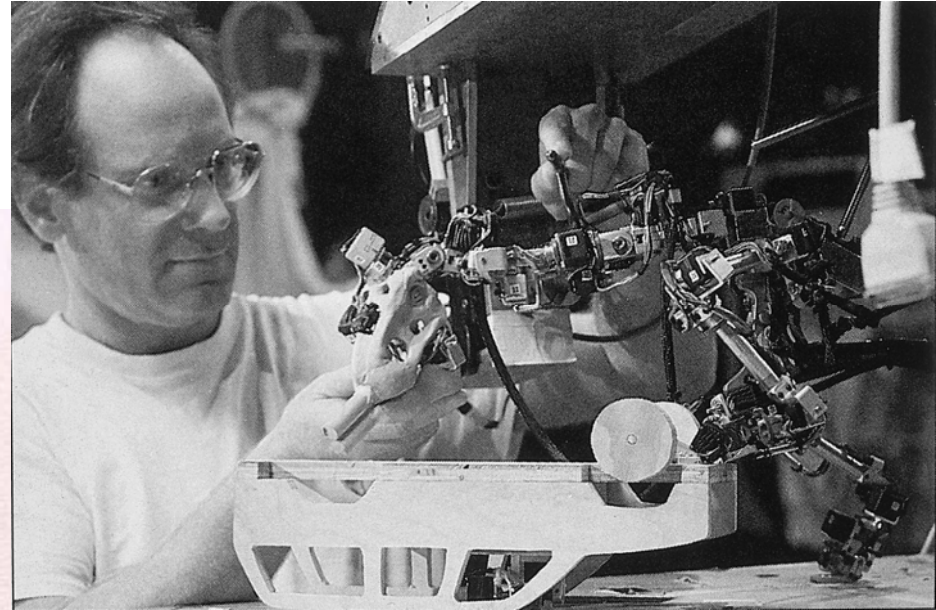
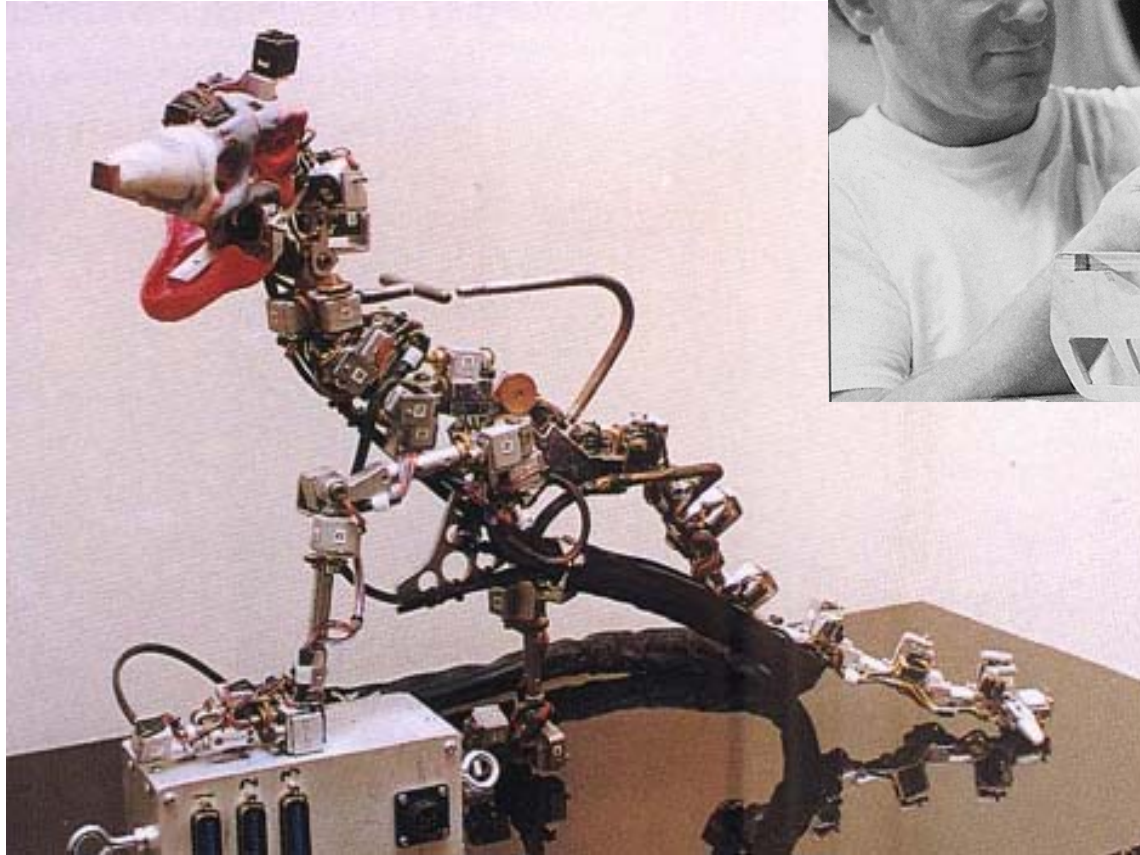


Jurassic Park [1993]



geplant als Stop Motion Film

Jurassic Park



Ron Magid: "After Jurassic Park",
American Cinematographer,
December 1993.

Abgedruckt in: Alan Watt "3D-
Computergrafik", S. 549, Pearson
Studium, ein Imprint von Pearson
Education Deutschland GmbH,
2001.

realisiert mit Dinosaur Input Device (DID)

Inverse Kinematics

$$\Theta = f^{-1}(\vec{x})$$

$$d^2 = a^2 + b^2 - 2ab \cos(\gamma)$$

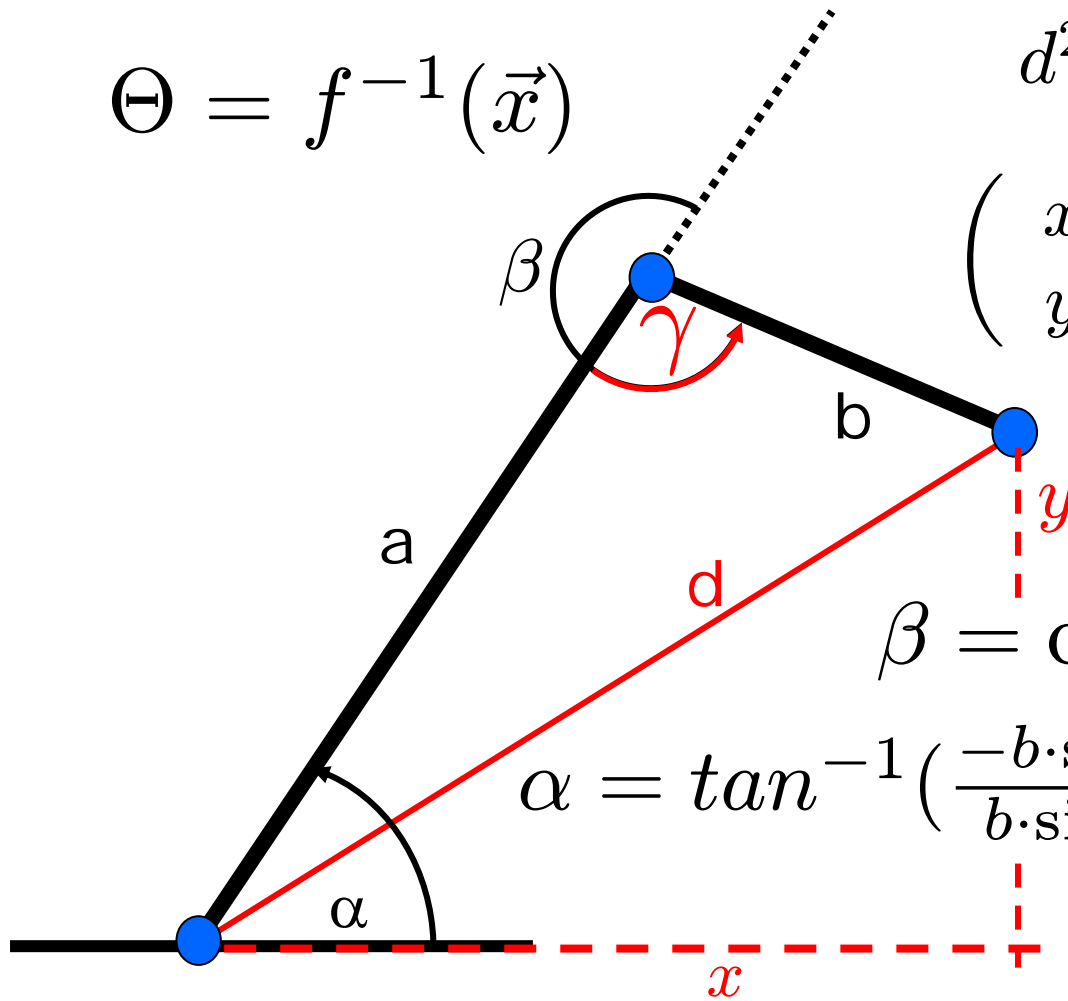
$$d^2 = x^2 + y^2$$

$$\begin{pmatrix} x \\ y \end{pmatrix}$$

$$\cos(\gamma) = \frac{a^2 + b^2 - x^2 - y^2}{2ab}$$

$$\beta = \cos^{-1}\left(\frac{x^2 + y^2 - a^2 - b^2}{2 \cdot a \cdot b}\right)$$

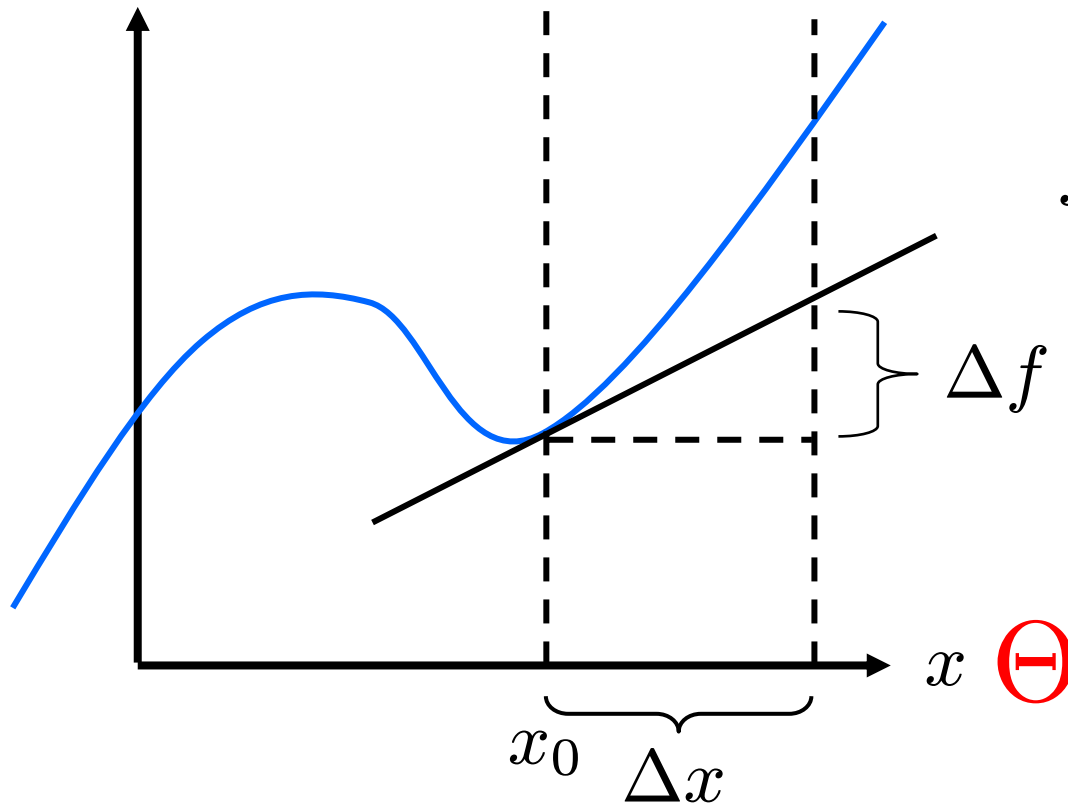
$$\alpha = \tan^{-1}\left(\frac{-b \cdot \sin(\beta) \cdot x + (a + b \cdot \cos(\beta)) \cdot y}{b \cdot \sin(\beta) \cdot y + (a + b \cdot \cos(\beta)) \cdot x}\right)$$



Differenzierbarkeit

$$\vec{x} = f(\Theta)$$

$$y = f(x)$$



$$f'(x_0) \approx \frac{\Delta f}{\Delta x}$$

$$f'(x_0) \cdot \Delta x \approx \Delta f$$

$$\Delta x \approx \frac{\Delta f}{f'(x_0)}$$

Jakobi-Matrix

Die Jakobi-Matrix einer differenzierbaren Abbildung

$$f : \mathbb{R}^n \rightarrow \mathbb{R}^m$$

ist die $m \times n$ Matrix aller partiellen Ableitungen

$$J_f = \frac{\partial f}{\partial x} = \begin{pmatrix} \frac{\partial f_1}{\partial x_1} & \frac{\partial f_1}{\partial x_2} & \cdots & \frac{\partial f_1}{\partial x_n} \\ \frac{\partial f_2}{\partial x_1} & \frac{\partial f_2}{\partial x_2} & \cdots & \frac{\partial f_2}{\partial x_n} \\ \cdots & \cdots & \cdots & \cdots \\ \frac{\partial f_m}{\partial x_1} & \frac{\partial f_m}{\partial x_2} & \cdots & \frac{\partial f_m}{\partial x_n} \end{pmatrix}$$

$$f(x, y, z) = x^2 + y^2 + z \cdot \sin(x)$$

$$\frac{\partial}{\partial x} f(x, y, z) = 2x + z \cdot \cos(x)$$

$$\frac{\partial}{\partial y} f(x, y, z) = 2y$$

$$\frac{\partial}{\partial z} f(x, y, z) = \sin(x)$$

Abhängigkeit zwischen dx und $d\Theta$

Schwer zu errechnen: $\Theta = f^{-1}(\vec{x})$

Aber: kleine Änderungen im Winkel verursachen kleine Änderungen in der Position

$$J(\Theta) = \frac{\partial \vec{x}}{\partial \Theta}$$

$$J(\Theta) \partial \Theta = \partial \vec{x}$$

$$\partial \Theta = J^{-1}(\Theta) (\partial \vec{x})$$

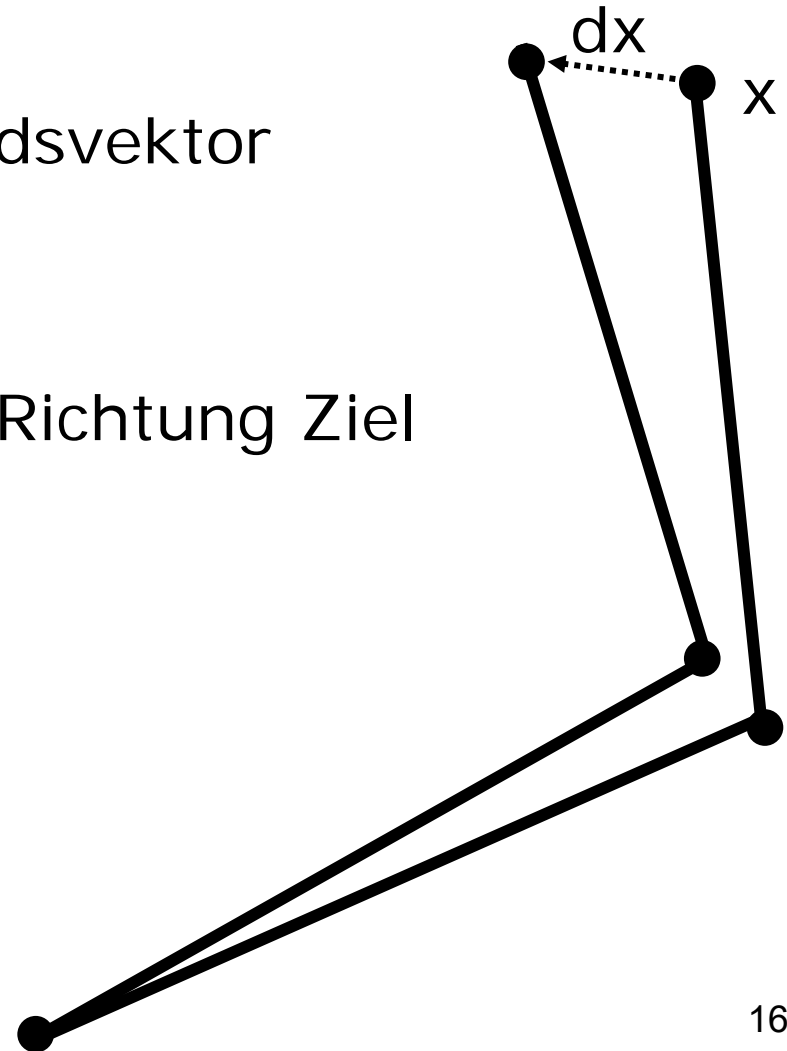
Obacht: invertieren nur bei quadratischen Matrizen möglich !

Iterationsverfahren

Sei x die aktuelle Position

Sei Θ der aktuelle Zustandsvektor

```
while (!fertig) {  
    dx := kleine Bewegung Richtung Ziel  
     $J(\Theta) = dx/d\Theta$   
    berechne Inverse von  $J$   
     $d\Theta := J^{-1}(\Theta)(dx)$   
     $x := f(\Theta + d\Theta)$   
}
```



Particle Systems

Geeignet für

- Sand
- Funken
- Wasser
- Schnee
- Feuer
- ...

William T. Reeves [1983]:

"Particle Systems - A Technique for Modeling a Class of Fuzzy Objects"

ACM Transaction on Graphics

LucasFilm, Pixar, Oscar für Wiss. & Entw.

Karl Sims [1990]:

"Particle Animation and Rendering using Data Parallel Computation"

ACM Computer Graphics

Connection Machine CM-2, 65.536

Prozessoren

Simulation physikalischer Gesetze

keine Interaktion untereinander

Partikeleigenschaften

- Position
- Geschwindigkeit
- Bewegungsrichtung
- Lebenszeit
- Größe
- Farbe
- Transparenz
- Gestalt

Phasen

- Generierung neuer Partikel
- Zuordnung von Attributen
- Entfernen von Partikeln
- Transformation von Partikeln
- Rendern des neuen Frames

Physik

Position P , Geschwindigkeit V , Beschleunigung A
Masse m_0 im Zentrum O , Flächennormale N

$$A = g \cdot m_0 \cdot \frac{O-P}{|O-P|^3}$$

$$F = m \cdot A$$

$$V' := V + A \cdot \Delta t$$

$$A = \frac{F}{m}$$

$$P' := P + \frac{V+V'}{2} \cdot \Delta t$$

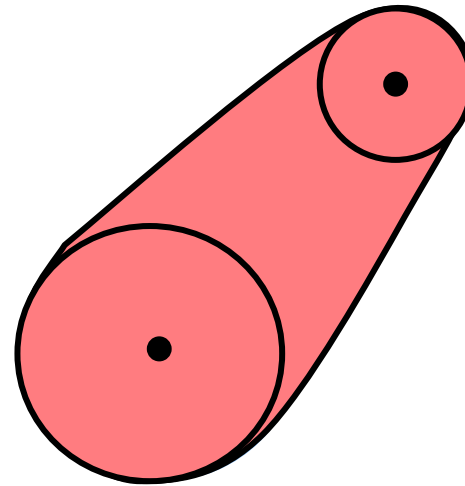
$$F = \frac{g \cdot m_0 \cdot m_1}{r^2}$$

$$V' := V - 2 \cdot (V \cdot N) \cdot N$$

Particle Rendering

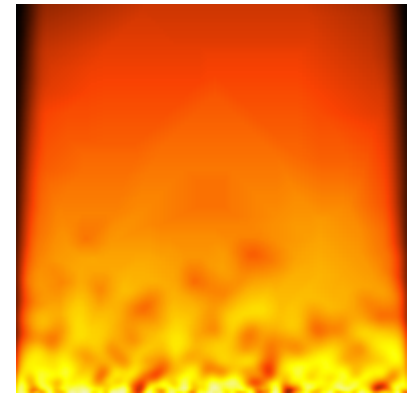
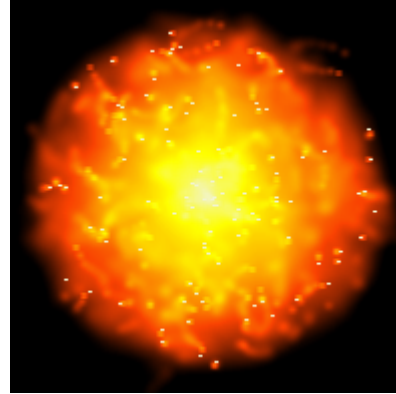
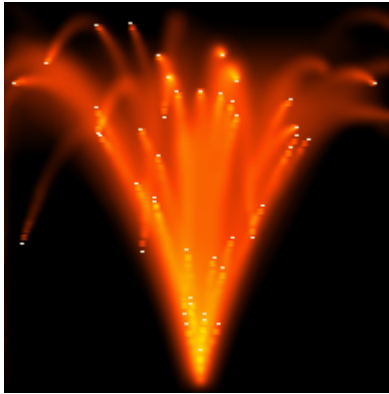
Für Head und Tail:

- Position
- Radius
- Farbverlauf
- Transparenz



Motion Blur berücksichtigen !

Particle Systems Demos



[~cg/2016/skript/Applets/Particle/jhlabs.html](http://cg/2016/skript/Applets/Particle/jhlabs.html)

<http://www.jhlabs.com/java/particles2.htm>

<http://galloman.github.io/ss2d/samples/particlesWGL.html>

<http://minimal.be/lab/fluGL/>

Pflanzen



white.sand © Alvy Ray Smith, Lucasfilm

Verhaltensanimation

Simple Vehicle Model:

- Masse
- Position
- Fahrtrichtung
- Geschwindigkeit
- Beschleunigung

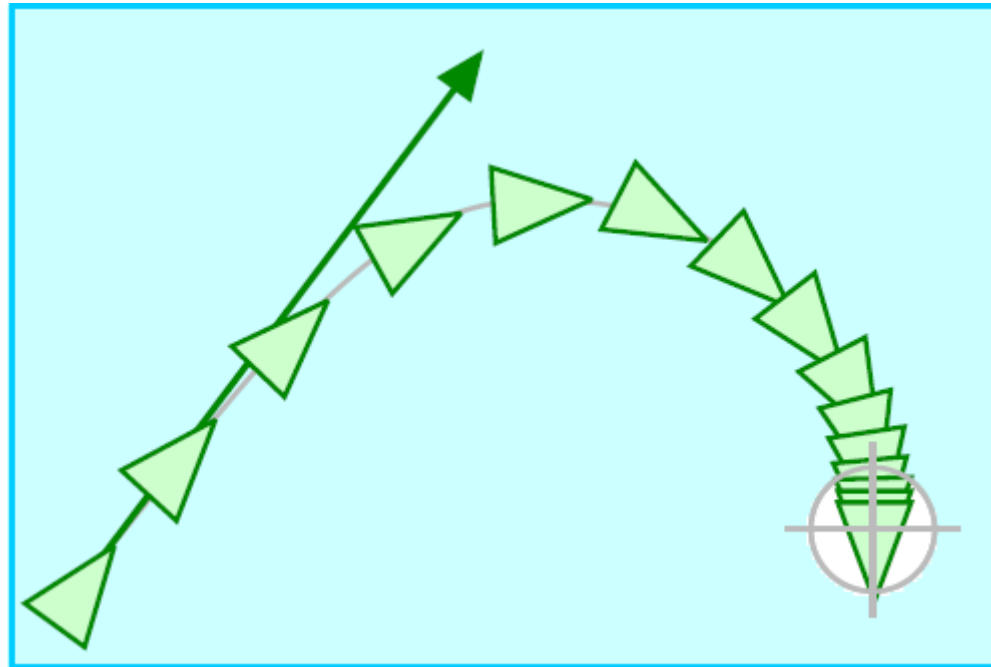
Craig W. Reynolds [1999]:
Steering Behaviors for
autonomous Characters
[Sony Computer Entertainment]

<http://www.red3d.com/cwr/steer/>

Vehikel interagiert

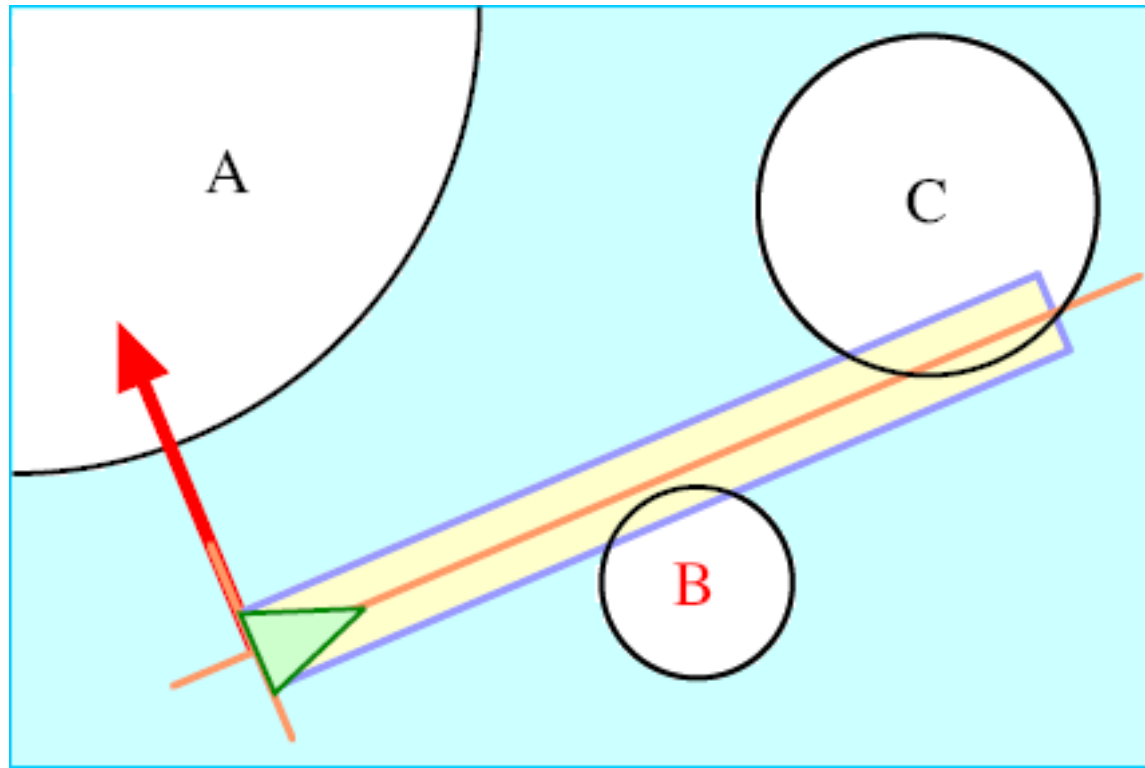
- mit Umwelt
- mit anderen Vehikeln

Arrival



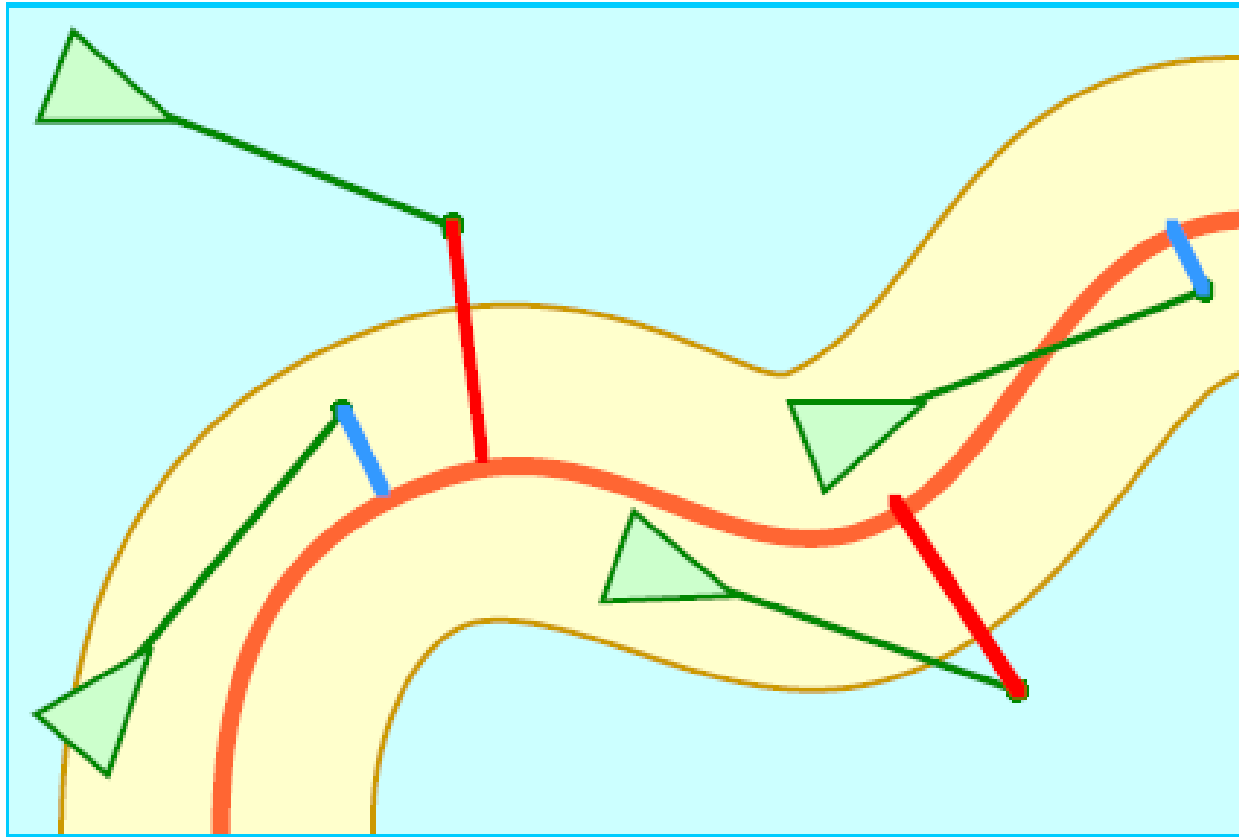
<http://www.red3d.com/cwr/steer/Arrival.html>

Obstacle Avoidance



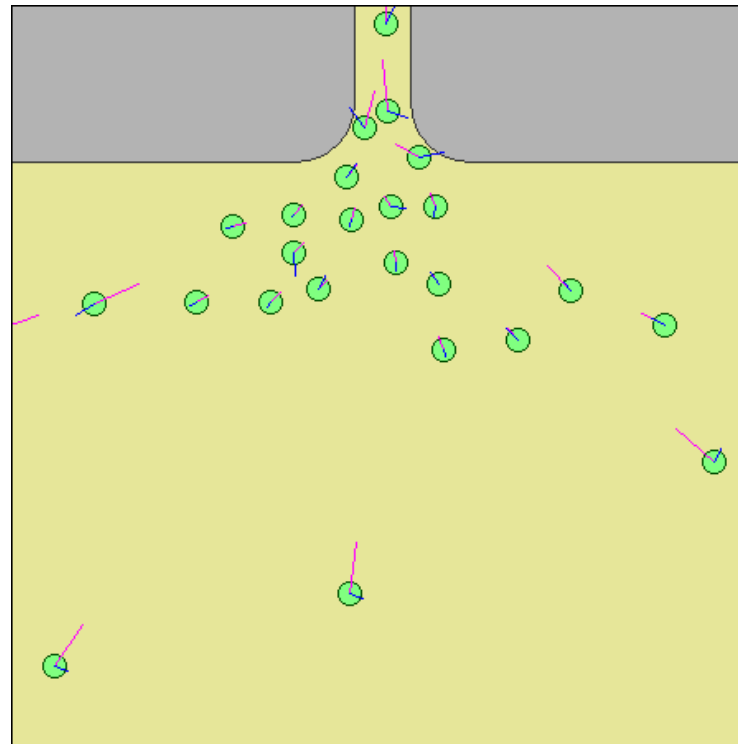
<http://www.red3d.com/cwr/steer/Obstacle.html>

Path Following



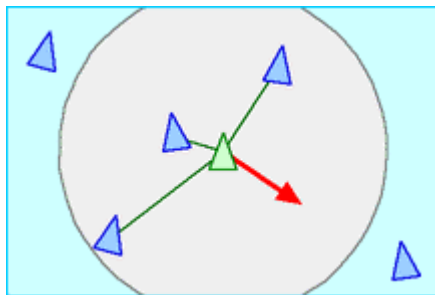
<http://www.red3d.com/cwr/steer/PathFollow.html>

Queuing Behaviour at door

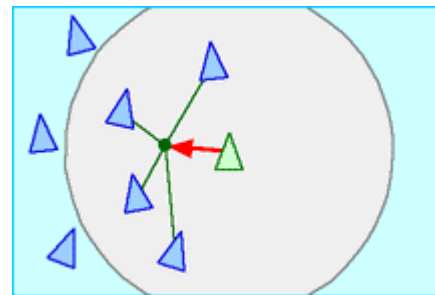


<http://www.red3d.com/cwr/steer/Doorway.html>

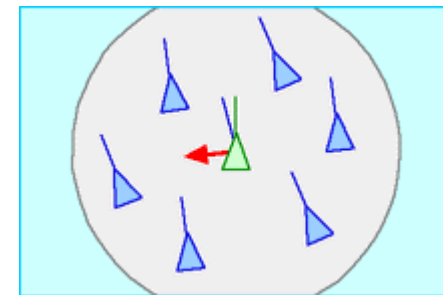
Schwarmverhalten



Separation

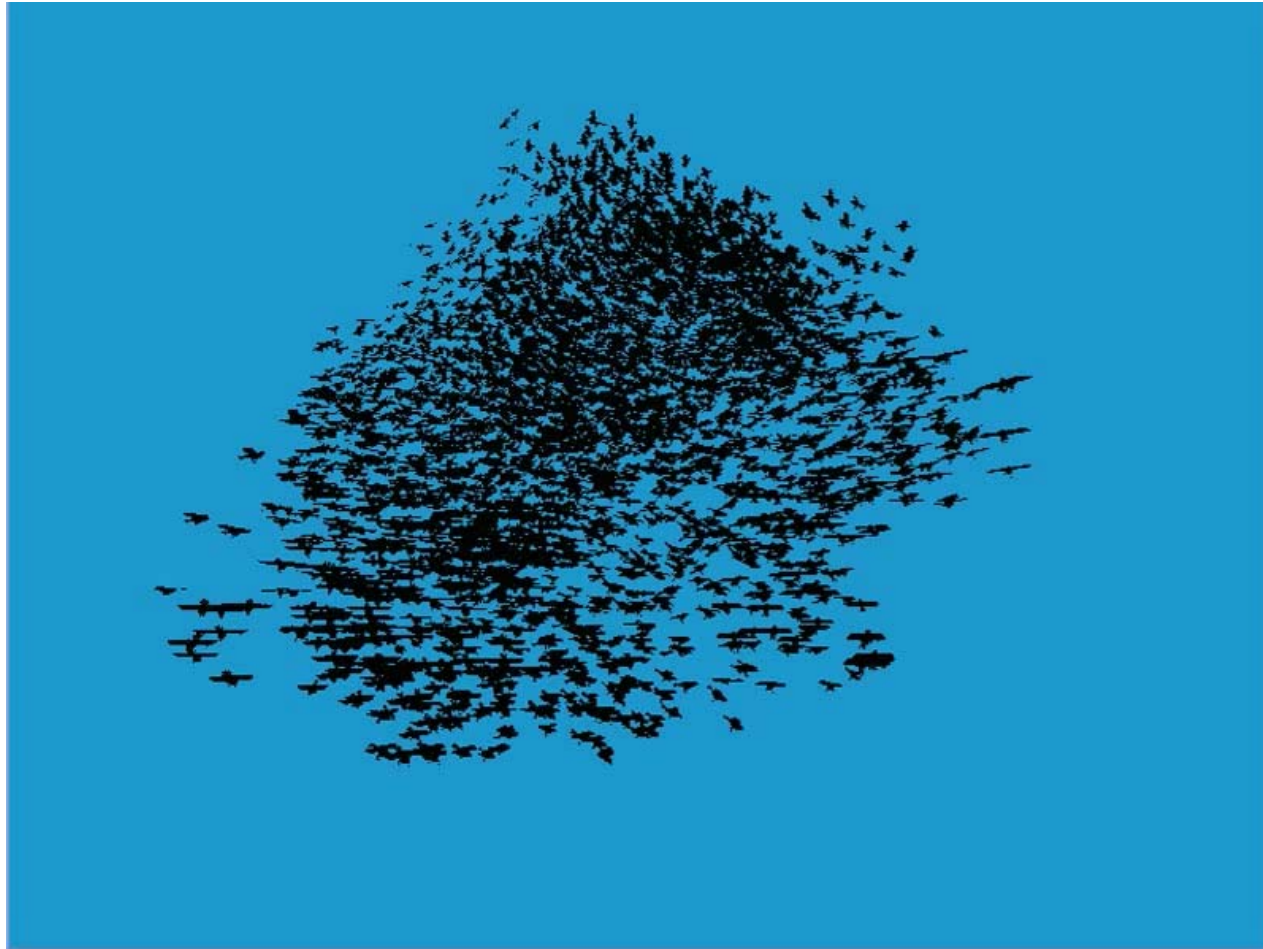


Kohäsion



Ausrichtung

Vogelschwarm von Oliver Tschesche



Scanline Production GmbH, München

TECHNICAL ACHIEVEMENT AWARD der American Academy of Motion Picture



~cg/2016/skript/Applets/Particle/scanline.html